

## บทที่ 2

### วรรณกรรมและงานวิจัยที่เกี่ยวข้อง

การศึกษาและเข้าใจถึงทฤษฎีต่าง ๆ ที่เกี่ยวข้องกับงานวิจัย นับว่ามีความสำคัญ และเป็นประโยชน์อย่างมากในการดำเนินงาน ทั้งนี้เพื่อเป็นพื้นฐานความรู้ และความเข้าใจในงานสำหรับนำไปเป็นแหล่งอ้างอิงในการดำเนินงานวิจัย ดังนั้นในบทนี้จึงได้นำเสนอทฤษฎีที่เกี่ยวข้องกับงานวิจัยนี้ โดยจะกล่าวถึงเฉพาะส่วนที่เป็นประโยชน์หรือถูกกล่าวอ้างถึงต่อการดำเนินงานวิจัย ทั้งนี้เพื่อให้เนื้อหา มีความกระชับและชัดเจนยิ่งขึ้น

#### 1. ทฤษฎีที่เกี่ยวข้อง

ในหัวข้อนี้จะกล่าวถึงทฤษฎีที่เกี่ยวข้องและหลักการและทฤษฎีที่ใช้ในงานวิจัยนี้

##### 1.1 สนามแม่เหล็ก

- พื้นฐานสำหรับสนามแม่เหล็ก (เด็จ ผ่าละอ, 2549)

การบอกถึงปริมาณอย่างหนึ่งอย่างใดของสรรพสิ่งในธรรมชาติ อาจกระทำได้โดยการบอกถึงขนาดแต่เพียงอย่างเดียวซึ่งรู้จักกันในนามของปริมาณเชิงสเกลาร์ หรืออาจบอกทั้งขนาดและทิศทางควบคู่กันซึ่งรู้จักกันในนามของปริมาณเชิงเวกเตอร์ พื้นฐานสำคัญในการศึกษาสนามแม่เหล็กจะเริ่มต้นจากทฤษฎีของเวกเตอร์ โดยจะเริ่มต้นด้วยพีชคณิตของเวกเตอร์ ดังนี้

ถ้าให้  $\mathbf{A}$  เป็นเวกเตอร์ใดๆ ในระบบ  $xyz$  จะเขียนเวกเตอร์  $\mathbf{A}$  ภายใต้ปริภูมิ ซึ่งแสดงอยู่ในรูปของพิกัดฉากหรือพิกัดคาร์ทีเซียน (cartesian coordinate) ได้ในลักษณะ

$$\mathbf{A} = A_x \mathbf{i} + A_y \mathbf{j} + A_z \mathbf{k} \quad (1)$$

เมื่อ  $\mathbf{i}$ ,  $\mathbf{j}$  และ  $\mathbf{k}$  เป็นเวกเตอร์หนึ่งหน่วย ที่ซึ้งไปในทิศทางบวกของแนวแกน  $x$ ,  $y$  และ  $z$  ตามลำดับ โดยมี  $A_x$ ,  $A_y$  และ  $A_z$  เป็นส่วนประกอบพิกัดฉากของ  $\mathbf{A}$  ในปริภูมิ

ถ้าให้  $\mathbf{A}$  และ  $\mathbf{B}$  คือเวกเตอร์ แล้ว  $\mathbf{A} \cdot \mathbf{B}$  คือการคูณกันแบบdot (dot product) เรียกวิธีการคูณแบบนี้ว่า การคูณเชิงสเกลาร์ (scalar product) นิยามโดย

$$\mathbf{A} \cdot \mathbf{B} = |\mathbf{A}| |\mathbf{B}| \cos \theta = A_x B_x + A_y B_y + A_z B_z \quad (2)$$

เมื่อ  $\theta$  คือมุมระหว่างเวกเตอร์  $\mathbf{A}$  กับ  $\mathbf{B}$  และ  $0 \leq \theta \leq \pi$

ส่วน  $\mathbf{A} \times \mathbf{B}$  คือการคูณกันแบบครอส (cross product) เรียกการคูณแบบนี้ว่า การคูณเชิงเวกเตอร์ (vector product) นิยามโดย

$$\mathbf{A} \times \mathbf{B} = |\mathbf{A}| |\mathbf{B}| \sin \theta (\pm \mathbf{n}) \quad (3)$$

เมื่อ  $\mathbf{n}$  นิยามให้เป็นเวกเตอร์ตั้งฉากกับเวกเตอร์  $\mathbf{A}$  และ  $\mathbf{B}$  โดยเครื่องหมาย  $\pm$  ใช้กำหนดทิศทางของผลคูณเวกเตอร์แบบครอส โดยถ้าเวกเตอร์  $\mathbf{A}$  หมุนตามเข็มนาฬิกาเป็นมุม  $\theta$  เข้าหาเวกเตอร์  $\mathbf{B}$  จะกำหนดให้  $\mathbf{n}$  เป็นบวก ในทางตรงกันข้ามก็กำหนดให้เป็นลบ หรือยึดหลักการของสกรู โดยถ้าขันสกรูให้เคลื่อนที่เข้าไปในเนื้อวัตถุจะกำหนดให้  $\mathbf{n}$  เป็นบวก และถ้าคลายสกรูออกจากเนื้อวัตถุจะกำหนดให้เป็นลบ ซึ่งเทียบได้กับกฎมือขวาข้างต้น

$$\mathbf{A} \times \mathbf{B} = (A_y B_z - A_z B_y) \mathbf{i} + (A_z B_x - A_x B_z) \mathbf{j} + (A_x B_y - A_y B_x) \mathbf{k} \quad (4)$$

หรือเขียนในรูปของตีท่อร์มิแวนต์ได้ดังนี้

$$\mathbf{A} \times \mathbf{B} = \begin{vmatrix} \mathbf{i} & \mathbf{j} & \mathbf{k} \\ A_x & A_y & A_z \\ B_x & B_y & B_z \end{vmatrix} \quad (5)$$

เมื่อทราบวิธีคำนวณผลคูณเชิงสเกลาร์และผลคูณเชิงเวกเตอร์ซึ่งเป็นพื้นฐานเบื้องต้นแล้ว จานนี้จึงดำเนินการศึกษาถึงการหาค่าเชิงอนุพันธ์ของฟังก์ชันสเกลาร์และฟังก์ชันเวกเตอร์ (ซัยณรงค์ วิเศษศักดิ์วิชัย, 2545) ซึ่งจะกล่าวต่อไปดังนี้

ถ้าให้  $f$  เป็นฟังก์ชันสเกลาร์ 3 ตัวแปร  $f(x,y,z)$  และ ค่าเชิงอนุพันธ์ของฟังก์ชัน  $f$  สามารถเขียนได้ดังนี้

$$df = \frac{\partial f}{\partial x} dx + \frac{\partial f}{\partial y} dy + \frac{\partial f}{\partial z} dz \quad (6)$$

และจากการกำหนดตัวดำเนินการอนุพันธ์ที่เรียกว่าเดล (del:  $\nabla$ ) ดังนี้

$$\nabla = \mathbf{i} \frac{\partial}{\partial x} + \mathbf{j} \frac{\partial}{\partial y} + \mathbf{k} \frac{\partial}{\partial z} \quad (7)$$

ดังนั้นมีนำ  $\nabla$  กระทำต่อฟังก์ชัน  $f$  จะได้  $\nabla f$  ซึ่งเรียกว่าเกรดิエンต์ (gradient) ของฟังก์ชัน  $f$  โดยจะมีความหมายในลักษณะ

$$\nabla f = \frac{\partial f}{\partial x} \mathbf{i} + \frac{\partial f}{\partial y} \mathbf{j} + \frac{\partial f}{\partial z} \mathbf{k} \quad (8)$$

และถ้ากำหนดให้  $\mathbf{A}$  คือเวกเตอร์แล้ว  $\nabla \cdot \mathbf{A}$  ซึ่งเป็นการคูณกันแบบดอท จะเรียกว่า ไดเวอร์เจนซ์ (divergence) ของ  $\mathbf{A}$  นิยามโดย

$$\nabla \cdot \mathbf{A} = \frac{\partial A_x}{\partial x} + \frac{\partial A_y}{\partial y} + \frac{\partial A_z}{\partial z} \quad (9)$$

ส่วน  $\nabla \times \mathbf{A}$  ซึ่งเป็นการคูณกันแบบครอส จะเรียกว่าเคิร์ล (curl) ของ  $\mathbf{A}$  นิยามโดย

$$\nabla \times \mathbf{A} = \left( \frac{\partial A_z}{\partial y} - \frac{\partial A_y}{\partial z} \right) \mathbf{i} + \left( \frac{\partial A_x}{\partial z} - \frac{\partial A_z}{\partial x} \right) \mathbf{j} + \left( \frac{\partial A_y}{\partial x} - \frac{\partial A_x}{\partial y} \right) \mathbf{k} \quad (10)$$

หรือเขียนในรูปของดีเทอร์มิแวนต์ได้ดังนี้

$$\nabla \times \mathbf{A} = \begin{vmatrix} \mathbf{i} & \mathbf{j} & \mathbf{k} \\ \frac{\partial}{\partial x} & \frac{\partial}{\partial y} & \frac{\partial}{\partial z} \\ A_x & A_y & A_z \end{vmatrix} \quad (11)$$

ได้เวอร์เจนซ์และเคิร์ลเป็นเพียงอนุพันธ์อันดับหนึ่ง เราสามารถใช้เดลต่าเนินการสองครั้ง เพื่อให้ได้อันพันธ์อันดับสอง ซึ่งเรียกว่าลาปลาเซียน (laplacian:  $\nabla^2$ ) ซึ่งแสดงได้ดังนี้

$$\nabla^2 = \frac{\partial^2}{\partial x^2} + \frac{\partial^2}{\partial y^2} + \frac{\partial^2}{\partial z^2} \quad (12)$$

ให้  $\mathbf{A}$  คือเวกเตอร์ จะได้ลาปลาเซียนของ  $\mathbf{A}$  คือ

$$\nabla^2 \mathbf{A} = \frac{\partial^2 A_x}{\partial x^2} \mathbf{i} + \frac{\partial^2 A_y}{\partial y^2} \mathbf{j} + \frac{\partial^2 A_z}{\partial z^2} \mathbf{k} \quad (13)$$

เอกลักษณ์ของเวกเตอร์ที่สำคัญต่อการดำเนินการอนุพันธ์อันดับสองมีอยู่ 2 เอกลักษณ์ ดังแสดงด้วยสมการที่ (14) และ (15) ดังนี้คือ

$$\nabla \cdot (\nabla \times \mathbf{A}) = 0 \quad (14)$$

$$\nabla \times (\nabla \times \mathbf{A}) = \nabla(\nabla \cdot \mathbf{A}) - \nabla^2 \mathbf{A} \quad (15)$$

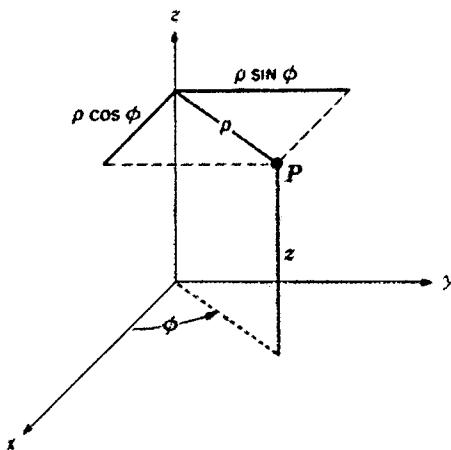
การแปลงระบบพิกัดที่มีพิกัดตั้งฉากซึ่งกันและกัน (William, 1989) จากพิกัดฉากไปเป็นพิกัดทรงกระบอก (cylindrical coordinate) ดังแสดงด้วยรูปที่ 1 สามารถแสดงได้โดย ถ้าให้  $\mathbf{A}$  เป็นเวกเตอร์ใดๆ ภายในปริภูมิ ซึ่งแสดงอยู่ในรูปของพิกัดฉาก คือ

$$\mathbf{A} = A_x \mathbf{a}_x + A_y \mathbf{a}_y + A_z \mathbf{a}_z \quad (16)$$

เมื่อ  $\mathbf{a}_x$ ,  $\mathbf{a}_y$  และ  $\mathbf{a}_z$  เป็นเวกเตอร์หนึ่งหน่วย โดยมี  $A_x$ ,  $A_y$  และ  $A_z$  เป็นส่วนประกอบพิกัด ฉะนั้นจะต้องถูกเปลี่ยนไปอยู่ในรูปส่วนประกอบพิกัดทรงกระบอก โดยถ้าให้  $\mathbf{A}$  เป็นเวกเตอร์ใดๆ ภายในปริภูมิ ซึ่งแสดงอยู่ในรูปของพิกัดทรงกระบอก คือ

$$\mathbf{A} = A_\rho \mathbf{a}_\rho + A_\phi \mathbf{a}_\phi + A_z \mathbf{a}_z \quad (17)$$

เมื่อ  $\mathbf{a}_\rho$ ,  $\mathbf{a}_\phi$  และ  $\mathbf{a}_z$  เป็นเวกเตอร์หนึ่งหน่วย โดยมี  $A_\rho$ ,  $A_\phi$  และ  $A_z$  เป็นส่วนประกอบพิกัดทรงกระบอก



รูปที่ 1 ความสัมพันธ์ระหว่างพิกัดฉากและพิกัดทรงกระบอก

จากรูปที่ 1 จะเห็นว่า ณ จุด  $P(x,y,z)$  หรือ  $P(\rho,\phi,z)$  จะได้ว่า

$$x = \rho \cos \phi, \quad y = \rho \sin \phi, \quad z = z$$

จะเห็นว่าตัวแปร  $x$ ,  $y$ ,  $z$  อยู่ในเทอมของตัวแปร  $\rho$ ,  $\phi$ ,  $z$  และในทำนองเดียวกันจะได้ว่า

$$\rho = \sqrt{x^2 + y^2}, \quad \phi = \tan^{-1} \frac{y}{x}, \quad z = z$$

ซึ่งจะเห็นว่าตัวแปร  $\rho, \phi, z$  อยู่ในเทอมของตัวแปร  $x, y, z$

ในการเปลี่ยนจากระบบทิศกัดหนึ่งไปเป็นอีกพิกัดหนึ่ง จะใช้หลักการคุณกันของเวกเตอร์แบบ  
บดortho การเปลี่ยนพิกัดจากไปเป็นพิกัดทรงกระบอกจะต้องหาค่า  $A_\rho, A_\phi$  ที่อยู่ในเทอมของ  $A_x, A_y$  โดย  
ที่  $A_z = A_z$  ซึ่งแสดงได้ดังนี้

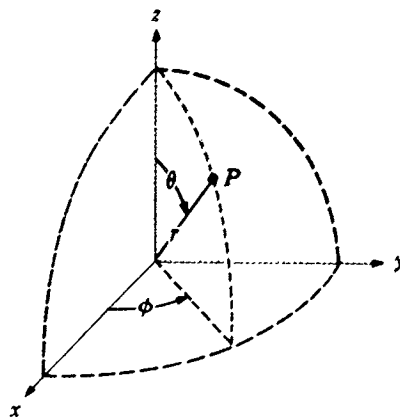
$$\begin{aligned} A_\rho &= \mathbf{A} \cdot \mathbf{a}_\rho = (A_x \mathbf{a}_x + A_y \mathbf{a}_y + A_z \mathbf{a}_z) \cdot \mathbf{a}_\rho = A_x \mathbf{a}_x \cdot \mathbf{a}_\rho + A_y \mathbf{a}_y \cdot \mathbf{a}_\rho \\ A_\rho &= A_x \cos \phi + A_y \sin \phi \end{aligned} \quad (18)$$

$$\begin{aligned} A_\phi &= \mathbf{A} \cdot \mathbf{a}_\phi = (A_x \mathbf{a}_x + A_y \mathbf{a}_y + A_z \mathbf{a}_z) \cdot \mathbf{a}_\phi = A_x \mathbf{a}_x \cdot \mathbf{a}_\phi + A_y \mathbf{a}_y \cdot \mathbf{a}_\phi \\ A_\phi &= -A_x \sin \phi + A_y \cos \phi \end{aligned} \quad (19)$$

ส่วนการแปลงจากพิกัดฉากไปเป็นพิกัดทรงกลม (spherical coordinate) ดังแสดงด้วย  
รูปที่ 2 สามารถแสดงได้โดย ถ้าให้  $\mathbf{A}$  เป็นเวกเตอร์ใดๆ ภายในปริภูมิ ซึ่งแสดงอยู่ในรูปของพิกัดทรงกลม  
คือ

$$\mathbf{A} = A_r \mathbf{a}_r + A_\theta \mathbf{a}_\theta + A_\phi \mathbf{a}_\phi \quad (20)$$

เมื่อ  $\mathbf{a}_r, \mathbf{a}_\theta$  และ  $\mathbf{a}_\phi$  เป็นเวกเตอร์หนึ่งหน่วย โดยมี  $A_r, A_\theta$  และ  $A_\phi$  เป็นส่วนประกอบ  
พิกัดทรงกลม



รูปที่ 2 ความสัมพันธ์ระหว่างพิกัดฉากและพิกัดทรงกลม

จากรูปที่ 2 จะเห็นว่า ณ จุด  $P(x,y,z)$  หรือ  $P(r,\theta,\phi)$  จะได้ว่า

$$x = r \sin\theta \cos\phi, \quad y = r \sin\theta \sin\phi, \quad z = r \cos\theta$$

จะเห็นว่าตัวแปร  $x, y, z$  อยู่ในเทอมของตัวแปร  $r, \theta, \phi$  และในทำนองเดียวกันจะได้ว่า

$$r = \sqrt{x^2 + y^2 + z^2}, \quad \theta = \cos^{-1} \frac{z}{\sqrt{x^2 + y^2 + z^2}}, \quad \phi = \tan^{-1} \frac{y}{x}$$

ซึ่งจะเห็นว่าตัวแปร  $r, \theta, \phi$  อยู่ในเทอมของตัวแปร  $x, y, z$

การเปลี่ยนพิกัดฉากไปเป็นพิกัดทรงกลม จะต้องหาค่า  $A_r, A_\theta, A_\phi$  ที่อยู่ในเทอมของ  $A_x, A_y, A_z$  ซึ่งแสดงได้ดังนี้

$$\begin{aligned} A_r &= \mathbf{A} \cdot \mathbf{a}_r = (A_x \mathbf{a}_x + A_y \mathbf{a}_y + A_z \mathbf{a}_z) \cdot \mathbf{a}_r \\ &= A_x \mathbf{a}_x \cdot \mathbf{a}_r + A_y \mathbf{a}_y \cdot \mathbf{a}_r + A_z \mathbf{a}_z \cdot \mathbf{a}_r \end{aligned}$$

$$A_r = A_x \sin\theta \cos\phi + A_y \sin\theta \sin\phi + A_z \cos\theta \quad (21)$$

$$\begin{aligned}
 A_\theta &= \mathbf{A} \cdot \mathbf{a}_\theta = (A_x \mathbf{a}_x + A_y \mathbf{a}_y + A_z \mathbf{a}_z) \cdot \mathbf{a}_\theta \\
 &= A_x \mathbf{a}_x \cdot \mathbf{a}_\theta + A_y \mathbf{a}_y \cdot \mathbf{a}_\theta + A_z \mathbf{a}_z \cdot \mathbf{a}_\theta \\
 A_\theta &= A_x \cos\theta \cos\phi + A_y \cos\theta \sin\phi + A_z \sin\theta
 \end{aligned} \tag{22}$$

$$\begin{aligned}
 A_\phi &= \mathbf{A} \cdot \mathbf{a}_\phi = (A_x \mathbf{a}_x + A_y \mathbf{a}_y + A_z \mathbf{a}_z) \cdot \mathbf{a}_\phi \\
 &= A_x \mathbf{a}_x \cdot \mathbf{a}_\phi + A_y \mathbf{a}_y \cdot \mathbf{a}_\phi + A_z \mathbf{a}_z \cdot \mathbf{a}_\phi \\
 A_\phi &= -A_x \sin\phi + A_y \cos\phi
 \end{aligned} \tag{23}$$

### ● สนามแม่เหล็กและศักย์เชิงเวกเตอร์แม่เหล็ก

เมื่อทราบทฤษฎีและคุณสมบัติของเวกเตอร์ที่จำเป็นแล้ว ต่อไปจะได้กล่าวถึงทฤษฎีที่เกี่ยวข้องกับสนามแม่เหล็กและศักย์เชิงเวกเตอร์แม่เหล็ก (เฉลิมพล น้ำค้าง, 2538) ซึ่งต้องอาศัยความรู้ของระบบเวกเตอร์จากข้างต้น

ประจุไฟฟ้า (electric charge) คือปริมาณของความเป็นไฟฟ้าที่สถิตอยู่ในสารนั้นๆ ซึ่งแรงปฏิสัมพันธ์ระหว่างประจุไฟฟ้าจะเรียกว่าแรงไฟฟ้า (electric force) และถ้าหากประจุไฟฟ้ามีการเคลื่อนที่ด้วย จะเกิดแรงที่เรียกว่าแรงแม่เหล็ก (magnetic force) ด้วยเหตุที่ห้องแรงไฟฟ้าและแรงแม่เหล็กมีแหล่งกำเนิดเดียวกันคือประจุไฟฟ้า การจัดจำแนกกลุ่มของแรงจึงได้จัดให้ห้องแรงนี้อยู่ในกลุ่มเดียวกันที่เรียกว่าแรงแม่เหล็กไฟฟ้า (electromagnetic force) ทุกๆ ประจุในสารจะมีความเข้มสนามไฟฟ้า (electric field intensity) หรืออาจเรียกว่าสนามไฟฟ้า (electric field: E) อยู่ปริมาณหนึ่ง ที่เป็นตัวกำหนดให้ประจุหนึ่งออกแรงกระทำต่อประจุหนึ่งด้วยแรงปริมาณหนึ่ง ส่วนความหนาแน่นของฟลักซ์แม่เหล็ก (magnetic flux density) หรืออาจเรียกว่าสนามแม่เหล็ก (magnetic field: B) จะเป็นตัวกำหนดให้ออกแรงกระทำเฉพาะประจุไฟฟ้าที่เคลื่อนที่ ซึ่งสนามแม่เหล็กนี้เองที่เป็นฐานของกลไกในการผันแปรพลังงานจากรูปแบบหนึ่งไปสู่รูปแบบอื่นๆ โดยใช้เป็นพื้นฐานสำหรับอิบิาย ปรากฏการณ์ที่เกิดขึ้นในมอเตอร์ เครื่องกำเนิดไฟฟ้า และหม้อแปลง ซึ่งการผันแปรพลังงานที่เกิดขึ้นในอุปกรณ์เหล่านี้ จะประกอบด้วยกฎพื้นฐานอยู่ 4 กฎ (Chapman, 1998) คือ

- 1) เมื่อกระแสไฟฟ้าในเส้นลวดตัวนำจะเกิดสนามแม่เหล็กล้อมรอบเส้นลวดนั้น

- 2) เมื่อสนามแม่เหล็กมีการเปลี่ยนแปลงตามเวลาจะเกิดแรงดันเหนี่ยวนำขึ้นใน ชด漉ด ที่เกิดจากการพันของเส้น漉ดตัวนำ (พื้นฐานประภูมิการณ์แม่เหล็ก)
- 3) เมื่อกระแสไฟลนเส้น漉ดตัวนำที่วางอยู่ในสนามแม่เหล็กจะเกิดแรงทางกลขึ้น (พื้นฐานประภูมิการณ์มอเตอร์)
- 4) เมื่อเส้น漉ดตัวนำเคลื่อนที่ผ่านสนามแม่เหล็กจะเกิดแรงดันเหนี่ยวนำขึ้น (พื้นฐานประภูมิการณ์เครื่องกำเนิดไฟฟ้า)  
ซึ่งปริมาณของสนามแม่เหล็กจะขึ้นอยู่กับวัสดุตัวกลาง สามารถแสดงได้โดย

$$B = \mu H \quad (24)$$

เมื่อ  $\mu$  คือความชาบชีมได้ของแม่เหล็ก (magnetic permeability) มีค่าเท่ากับ  $\mu_0\mu_r$  โดยที่  $\mu_0$  คือความชาบชีมได้ของสูญญากาศ มีค่าเท่ากับ  $4\pi \times 10^{-7} \text{ H/m}$  และ  $\mu_r$  คือความชาบชีมได้สัมพัทธ์ (relative permeability) โดยจะขึ้นอยู่กับวัสดุตัวกลาง ส่วน  $H$  คือความเข้มสนามแม่เหล็ก (magnetic field intensity) และจากการศึกษาคุณสมบัติของ  $B$  พบว่า

$$\nabla \cdot B = 0 \quad (25)$$

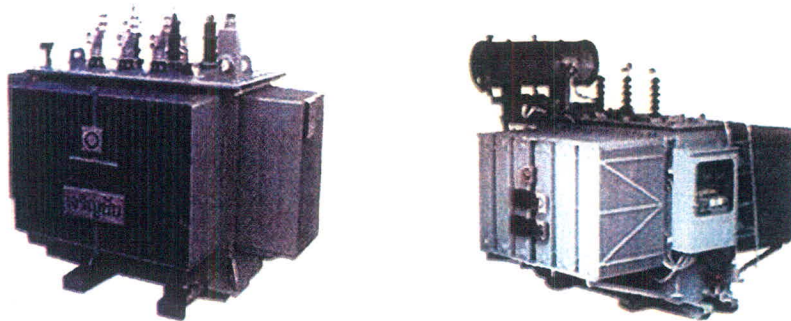
ซึ่งสมการที่ (25) นี้คือกฎของเกาส์ (Gauss's law) ในรูปอนุพันธ์ของสนามแม่เหล็ก โดยถ้านำไปประกอบกับการใช้เอกลักษณ์ในสมการที่ (14) จะสรุปได้ว่าหากได้เวอร์เจนซ์ของ  $B$  เท่ากับศูนย์แล้ว ย่อมมีอีกเวกเตอร์หนึ่งที่เมื่อกราฟทำเคริลแล้วได้ผลเป็นเวกเตอร์  $B$  เวกเตอร์ใดที่กราฟทำเคริลแล้วเท่ากับ  $B$  จะเรียกว่าศักย์เชิงเวกเตอร์แม่เหล็ก (magnetic vector potential: A) ดังนี้

$$B = \nabla \times A \quad (26)$$

ดังนั้นเมื่อต้องการคำนวณหาสนามแม่เหล็ก  $B$  จึงเลี้ยงโดยการไปคำนวณหาศักย์เชิงเวกเตอร์แม่เหล็ก  $A$  ก่อน ซึ่งสามารถคำนวณได้ง่ายกว่า โดยสนามแม่เหล็ก  $B$  สามารถคำนวณได้ด้วยการคีร์ลศักย์เชิงเวกเตอร์แม่เหล็ก  $A$  เท่านั้น

## 1.2 หม้อแปลงไฟฟ้า

เป็นอุปกรณ์ที่ใช้เปลี่ยนระดับแรงดันให้สูงขึ้นหรือต่ำลงตามต้องการ ภายใต้ประกอบด้วย ชุดดาว 2 ชุดคือ ชุดดาวปฐมภูมิ (Primary winding) และ ชุดดาวทุติยภูมิ (Secondary winding) แต่ สำหรับหม้อแปลงกำลัง (Power Transformer) ขนาดใหญ่บางตัวอาจมีชุดดาวที่สามเพิ่มขึ้นคือ ชุดดาวตติยภูมิ (Tertiary winding) ซึ่งมีขนาดเล็กกว่าชุดปฐมภูมิและชุดดาวทุติยภูมิ และแรงดันที่ แปลงออกมามีค่าต่ำกว่าชุดทุติยภูมิ



รูปที่ 3 รูปหม้อแปลงไฟฟ้า 3 เพส

### ● ชนิดของหม้อแปลงไฟฟ้า

หม้อแปลงไฟฟ้าถูกแบ่งออกเป็นชนิดต่างๆได้หลายวิธี เช่น แบ่งตามโครงสร้าง ได้แก่ ชนิด แกน (core type) และชนิดเปลือกรอบ (shell type) หรือแบ่งตามตัวกลางที่ใช้ทำฉนวนและตัวระบายน ความร้อน ได้แก่ ก๊าซ SF<sub>6</sub> และน้ำมันหม้อแปลง สุดท้ายแบ่งตามกำลังไฟฟ้าที่จ่ายออกไปได้แก่ หม้อแปลงไฟฟ้าที่ขนาดมากกว่า 2500 kVA ขึ้นไปเรียกว่า หม้อแปลงไฟฟ้ากำลัง (power transformer) ซึ่งจะอยู่ตามสถานีย่อยไฟฟ้า ส่วนหม้อแปลงไฟฟ้าที่มีขนาดตั้งแต่ 2500 kVA ลงมาเรียก จะเรียกว่าหม้อแปลงจำหน่าย (distribution transformer)

สำหรับหม้อแปลงจำหน่ายที่ใช้งานทั่วไปของการไฟฟ้าส่วนภูมิภาคแบ่งออกเป็น 2 ระบบ คือ

- 1.) ระบบ 1 เพส 3 สาย มีใช้งาน 4 ขนาดคือ 10 KVA, 20 KVA, 30 KVA, 50 KVA
- 2.) ระบบ 3 เพส 4 สาย มีหลายขนาดได้แก่ 30, 50, 100, 160, 250, 315, 400, 500, 1000, 1250, 1500, 2500 KVA.

## การจำแนกหม้อแปลงตามขนาดกำลังไฟฟ้าที่ใช้งานมีดังนี้

- 1.) ขนาดเล็กจนถึง 1 VA เป็นหม้อแปลงที่ใช้กับการเชื่อมต่อระหว่างสัญญาณในงานอิเล็กทรอนิกส์
- 2.) ขนาด 1-1000 VA เป็นหม้อแปลงที่ใช้กับงานด้านเครื่องใช้ไฟฟ้าภายในบ้านขนาดเล็ก
- 3.) ขนาด 1 kVA -1 MVA เป็นหม้อแปลงที่ใช้กับงานจำหน่ายไฟฟ้าในโรงงาน สำนักงานที่พักอาศัย
- 4.) ขนาดใหญ่ตั้งแต่ 1 MVA ขึ้นไป เป็นหม้อแปลงที่ใช้กับงานระบบไฟฟ้ากำลังในสถานีไฟฟ้าย่อย การผลิตและจ่ายไฟฟ้า

## นอกจากนี้หม้อแปลงยังสามารถจำแนกชนิดตามจำนวนรอบของชด漉ัดได้ดังนี้

- 1.) หม้อแปลงแรงเคืองไฟฟ้าเพิ่ม (Step-Up) ชด漉ัดทุติยภูมิจะมีจำนวนรอบมากกว่าชด漉ัดปฐมภูมิ
- 2.) หม้อแปลงแรงเคืองไฟฟ้าลง (Step-Down) ชด漉ัดทุติยภูมิจะมีจำนวนรอบน้อยกว่าปฐมภูมิ
- 3.) หม้อแปลงที่มีแทปแยก (Tap) ทำให้มีขนาดของแรงเคืองไฟฟ้าได้หลายระดับ
- 4.) หม้อแปลงที่ใช้สำหรับแยกวงจรไฟฟ้าออกจากกัน (Isolating) ชด漉ัดทุติยภูมิจะมีจำนวนรอบเท่ากันกับชด漉ัดปฐมภูมิหรือมีแรงเคืองไฟฟ้า

### ● ส่วนประกอบของหม้อแปลงไฟฟ้า

หม้อแปลงแบ่งออกตามการใช้งานของระบบไฟฟ้ากำลังได้ 2 แบบคือ หม้อแปลงไฟฟ้าชนิด 1 เฟส และหม้อแปลงไฟฟ้าชนิด 3 เฟสแต่ละชนิดมีโครงสร้างสำคัญประกอบด้วย

- 1.) ชด漉ัดตัวนำปฐมภูมิ (Primary Winding) ทำหน้าที่รับแรงเคืองไฟฟ้า
- 2.) ชด漉ัดทุติยภูมิ (Secondary Winding) ทำหน้าที่จ่ายแรงเคืองไฟฟ้า
- 3.) แผ่นแกนเหล็ก (Core) ทำหน้าที่เป็นทางเดินสนามแม่เหล็กไฟฟ้าและให้ชด漉ัดพันรอบแกนเหล็ก
- 4.) ขั้วต่อสายไฟ (Terminal) ทำหน้าที่เป็นจุดต่อสายไฟกับชด漉ัด
- 5.) แผ่นป้าย (Name Plate) ทำหน้าที่บอกรายละเอียดประจำตัวหม้อแปลง
- 6.) อุปกรณ์ระบายความร้อน (Coolant) ทำหน้าที่ระบายความร้อนให้กับชด漉ัด เช่น อากาศ, พัดลม, น้ำมัน หรือใช้ทั้งพัดลมและน้ำมันช่วยระบายความร้อน เป็นต้น

7.) โครง (Frame) หรือตัวถังของหม้อแปลง (Tank) ทำหน้าที่บรรจุชุดลวด แกนเหล็ก รวมทั้งการติดตั้งระบบบายความร้อนให้กับหม้อแปลงขนาดใหญ่

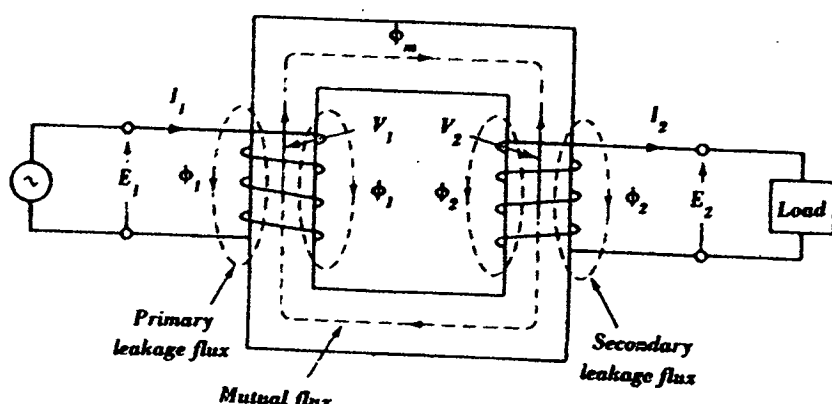
8.) สวิตซ์และอุปกรณ์ควบคุม (Switch Controller) ทำหน้าที่ควบคุมการเปลี่ยนขนาดของแรงเคลื่อนไฟฟ้า และมีอุปกรณ์ป้องกันไฟฟ้าชนิดต่าง ๆ รวมอยู่ด้วย

วัสดุที่ใช้ทำชุดลวดหม้อแปลงโดยทั่วไปมาจากการซื้อขายทางเดิม เช่น ทองแดงเคลือบน้ำยาฉนวน มีข้อดี คือ ทนทาน ไม่เสื่อมคลาย และลักษณะลวดเป็นทรงกลมหรือแบนขึ้นอยู่กับขนาดของหม้อแปลง ลวดเส้นโตจะมีความสามารถในการจ่ายกระแสได้มากกว่าลวดเส้นเล็ก

หม้อแปลงขนาดใหญ่มักใช้ลวดคลิกแบบตีเกลียวเพื่อเพิ่มพื้นที่สายตัวนำให้มีทางเดินของกระแสไฟมากขึ้น สายตัวนำที่ใช้พันชุดลวดบนแกนเหล็กทั้งชุดลวดปัจจุบันภูมิและลวดทุติยภูมิอาจมีแทปแยก (Tap) เพื่อแบ่งขนาดแรงเคลื่อนไฟฟ้า (ในหม้อแปลงขนาดใหญ่จะใช้การเปลี่ยนแทปด้วยสวิตซ์อัตโนมัติ)

#### วงจรสมมูลของหม้อแปลงไฟฟ้า (มงคล ทองสังเคราะห์, 2549)

วงจรสมมูลของหม้อแปลงไฟฟ้าเป็นวงจรที่มีสัณลักษณ์มาแทนส่วนประกอบของหม้อแปลงไฟฟ้า เพื่อให้ง่ายต่อการพิจารณาและการคำนวณค่าต่างๆ ในหม้อแปลงไฟฟ้านั้น



รูปที่ 4 วงจรหม้อแปลงไฟฟ้า

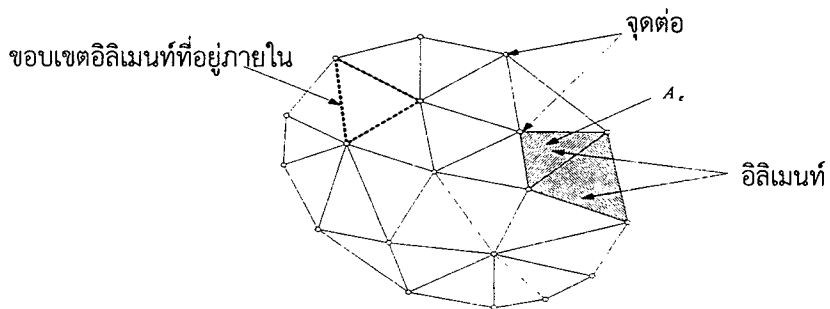
เมื่อพลักซ์แม่เหล็กรั่วไหลที่ชุดลวดปัจจุบันภูมิและทุติยภูมิ ( $\Phi_1, \Phi_2$  ในรูปที่ 4) เคลื่อนตัวรอบ Loop จะมีคุณสมบัติเช่นเดียวกับ inductive reactance ( $X_L$ ) ซึ่งเราเรียกว่า leakage

### 1.3 ระเบียบวิธีไฟไนท์อิลิเมนท์

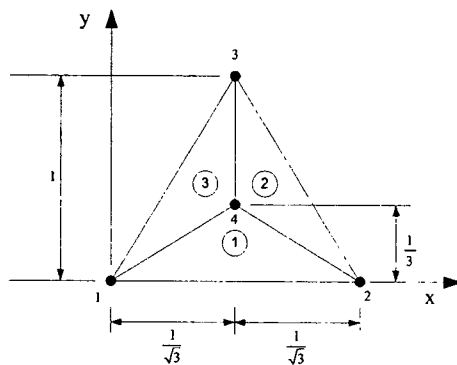
ระเบียบวิธีไฟไนท์อิลิเมนท์เป็นระเบียบวิธีเชิงตัวเลขเพื่อใช้คำนวณหาผลเฉลยโดยประมาณของปัญหาที่อยู่ในรูปสมการเชิงอนุพันธ์ โดยการแบ่งรูปร่างขอบเขตของปัญหาออกเป็นอิลิเมนท์ แล้วสร้างสมการของแต่ละอิลิเมนท์ให้สอดคล้องกับสมการเชิงอนุพันธ์ และอิลิเมนท์ต่าง ๆ จะเชื่อมต่อกันด้วยจุดต่อซึ่งเป็นตำแหน่งที่คำนวณหาค่าผลเฉลย สำหรับระเบียบวิธีไฟไนท์อิลิเมนท์ในงานวิจัยนี้จะดำเนินการคำนวณแบบ 3 มิติ แต่จะกล่าวถึงวิธีไฟไนท์อิลิเมนท์แบบ 2 มิติ ซึ่งเป็นหลักการเบื้องต้นเอาไว้เท่านั้น

หลักการของระเบียบวิธีไฟไนท์อิลิเมนท์ คือ เริ่มจากการแบ่งรูปร่างของปัญหาออกเป็นพื้นที่หลาย ๆ ส่วนที่เรียกว่าอิลิเมนท์ โดยที่การกระจาย และแรงภายในของแต่ละอิลิเมนท์ ณ จุดที่อิลิเมนท์ต่อโยงกันจะต้องเข้ากันได้และสมดุล ซึ่งอิลิเมนท์ต่าง ๆ นี้ จะขึ้นอยู่กับความละเอียดของแต่ละงานว่าต้องการรูปร่างลักษณะใกล้เคียงกับของจริงตั้งเดิมมากเท่าใด ซึ่งถ้าพิจารณาแบบ 2 มิติอาจอยู่ในรูปลักษณะของสามเหลี่ยมและสี่เหลี่ยมด้านไม่เท่ากันได้ โดยค่าผลเฉลยโดยประมาณที่มีจำนวนที่นับได้ที่จะคำนวณออกมานั้นจะมีความแม่นยำขึ้นอยู่กับขนาด และจำนวนของอิลิเมนท์ที่ใช้ในการแก้ปัญหา นั้น ซึ่งขั้นตอนโดยทั่วไปของวิธีไฟไนท์อิลิเมนท์ประกอบไปด้วยขั้นตอนใหญ่ ๆ ทั้งหมด 6 ขั้นตอน (ปราโมทย์ เศษ方案, 2542) โดยมีรายละเอียดดังนี้ คือ

1. แบ่งอิลิเมนท์ย่อยให้กับระบบ (Discretization) แบ่งขอบเขต\_rupr่างของระบบปัญหาที่ต้องการหาผลลัพธ์ออกเป็นอิลิเมนท์ย่อย ๆ โดยแต่ละอิลิเมนท์จะมีพื้นที่  $A_e$  ดังแสดงในรูปที่ 6 ซึ่งเป็นรูปแสดงการแบ่งอิลิเมนท์ของรูปร่างปัญหาแบบ 2 มิติ (ระบบ xy) โดยใช้อิลิเมนท์รูปสามเหลี่ยมสามจุดต่อ ซึ่งประกอบไปด้วยโนนด (Nodes) อิลิเมนท์ (Elements) และขอบเขตของอิลิเมนท์ที่อยู่กันใน (Interelement boundaries) และเพื่อเป็นแนวทางในการสร้างโปรแกรมการคำนวณสำหรับการป้อนข้อมูลของทุก ๆ อิลิเมนท์ จึงขอยกตัวอย่างรูปร่างของปัญหาที่ประกอบด้วยอิลิเมนท์รูปสามเหลี่ยมทั้งหมด 3 อิลิเมนท์ 4 โนนด ดังแสดงด้วยรูปที่ 7



รูปที่ 6 การแบ่งรูปร่างของปัญหาออกเป็นอิลิเมนท์



รูปที่ 7 รูปร่างของปัญหาที่ประกอบด้วย 3 อิลิเมนท์ 4 โหนด

ข้อมูลเบื้องต้นสำหรับโปรแกรมคอมพิวเตอร์ที่ต้องการ คือ หมายเลขของอิลิเมนท์ และ หมายเลขของโหนด พร้อมทั้งค่าพิกัดของแต่ละโหนด ดังแสดงด้วยรูปที่ 7 พร้อมทั้งสรุปเป็นตารางได้ดัง ตารางที่ 1 และ 2 ตามลำดับ

ตารางที่ 1 ลักษณะข้อมูลของอิลิเมนท์

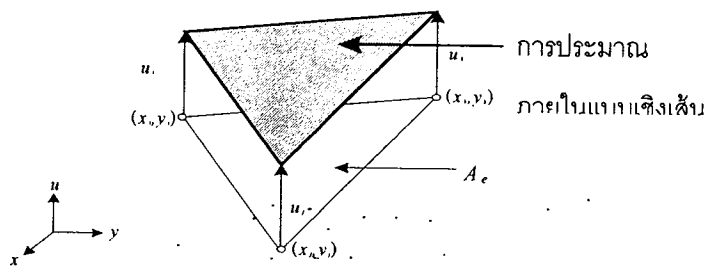
หมายเลขอิลิเมนท์	หมายเลขโหนด		
	โหนด $i$	โหนด $j$	โหนด $k$
1	1	2	4
2	4	2	3
3	1	4	3

หมายเหตุ : โหนด  $i$ ,  $j$  และ  $k$  คือหมายเลขของโหนดที่  $i$ ,  $j$  และ  $k$  ในทิศทางทวนเข็มนาฬิกา

ตารางที่ 2 ลักษณะข้อมูลของตัวแหน่งโหนด

หมายเลขโหนด	พิกัดแกน $x$	พิกัดแกน $y$
1	0	0
2	$2/\sqrt{3}$	0
3	$1/\sqrt{3}$	1
4	$1/\sqrt{3}$	$1/3$

2. เลือกรูปแบบของฟังก์ชันการประมาณภายในอิลิเมนท์ (Element interpolation function) อย่างในกรณีอิลิเมนท์รูปสามเหลี่ยมจะประกอบด้วย 3 โหนดที่มีตัวห้อย  $i, j$  และ  $k$  ซึ่งวนในทิศทางทวนเข็มนาฬิกาตามลำดับ ดังแสดงในรูปที่ 11 (Bickford, 1994) ซึ่งเป็นการประมาณค่าภายในอิลิเมนท์แบบเชิงเส้น (Linear representation)



รูปที่ 8 การประมาณภายในแบบเชิงเส้นบนอิลิเมนท์รูปสามเหลี่ยม

ตัวแหน่งของโหนด  $(x_n, y_n)$   $n = i, j$  และ  $k$  เป็นตัวแหน่งของตัวที่ไม่ทราบค่า  $u_n$  โดยสมมติลักษณะการกระจายของผลลัพธ์ ณ ตัวแหน่งใด ๆ บนอิลิเมนท์  $u_e(x, y)$  เป็นแบบเชิงเส้น ดังนี้

$$u_e(x, y) = a + \beta x + \gamma y \quad (27)$$

โดยที่  $a, \beta, \gamma$  เป็นค่าคงที่ ซึ่งสามารถหาได้จากโหนดทั้งสามดังนี้

$$u_e(x_i, y_i) = u_i = a + \beta x_i + \gamma y_i$$

3. สร้างสมการของอลิเมนท์ (Element formulation) ให้สอดคล้องกับสมการเชิงอนุพันธ์ของปัญหา ซึ่งขั้นตอนนี้คือว่าเป็นขั้นตอนที่สำคัญของวิธีไฟไนท์อลิเมนท์ อย่างเช่นกรณีสมการของอลิเมนท์สามเหลี่ยมที่ได้ยกมาเป็นตัวอย่างดังแสดงในรูปที่ 10 จะอยู่ในรูปแบบดังนี้

$$\begin{bmatrix} K_{11} & K_{12} & K_{13} \\ K_{21} & K_{22} & K_{23} \\ K_{31} & K_{32} & K_{33} \end{bmatrix}_e \begin{bmatrix} u_i \\ u_j \\ u_k \end{bmatrix}_e = \begin{bmatrix} f_i \\ f_j \\ f_k \end{bmatrix}_e \quad (31)$$

ซึ่งเขียนโดยย่อได้ว่า  $[K]_e [u]_e = [f]_e$  โดย  $[u]_e$  คือ เมทริกซ์ตัวไม่ทราบค่าที่หนด และตัวห้อย  $e$  แสดงให้ทราบว่าเป็นเมทริกซ์ระดับอลิเมนท์ ซึ่งสมการของอลิเมนท์ดังกล่าว จำเป็นต้องถูกสร้างขึ้นมาให้สอดคล้องกับสมการเชิงอนุพันธ์ของปัญahan ฯ การสร้างสมการของอลิเมนท์ซึ่งอยู่ในรูปแบบของสมการที่ (31) สามารถทำได้โดย

- วิธีการโดยตรง (Direct approach) วิธีนี้สามารถใช้ได้เฉพาะกับปัญหาที่เข้าใจได้ง่าย ๆ อย่างเช่น ปัญหาต่าง ๆ ในรูปทรง 1 มิติ เท่านั้น ซึ่งไม่สามารถขยายเปลี่ยนแปลงเพื่อนำไปใช้กับปัญหาใน 2 หรือ 3 มิติโดยทั่วไปได้

- วิธีการแปรผัน (Variational approach) หลักการสำคัญของวิธีการนี้คือ จำเป็นจะต้องทำการหาหรือสร้างฟังก์ชัน ซึ่งเมื่อทำการหาค่าต่ำสุดของฟังก์ชันนั้นแล้ว จะเป็นผลให้เกิดสมการเชิงอนุพันธ์และเงื่อนไขขอบเขตที่สอดคล้องกับปัญหาที่กำลังสนใจอยู่ อย่างไรก็ตามวิธีการแปรผันเป็นวิธีการดั้งเดิมที่ใช้กันในช่วงต้น ๆ ของการพัฒนาวิธีไฟไนท์อลิเมนท์ ซึ่งส่วนใหญ่จะเป็นปัญหาที่เกี่ยวกับทางด้านโครงสร้าง และยังมีจุดอ่อนอีกด้วย จำเป็นต้องทราบฟังก์ชันแปรผันที่สอดคล้องกับสมการเชิงอนุพันธ์ของปัญahan ฯ ซึ่งปัญหาหลาย ๆ ชนิดในทางปฏิบัติสามารถสร้างสมการอนุพันธ์ขึ้นมาได้ แต่ไม่สามารถหาฟังก์ชันแปรผันที่สอดคล้องกันนั้นได้

- วิธีการถ่วงน้ำหนักเศษตกค้าง (Method of weighted residuals) วิธีนี้จะใช้วิธีการสร้างสมการไฟไนท์อลิเมนท์จากสมการเชิงอนุพันธ์โดยตรง โดยไม่จำเป็นต้องทราบฟังก์ชันแปรผันที่สอดคล้อง ซึ่งสามารถนำไปใช้ในการสร้างสมการไฟไนท์อลิเมนท์สำหรับปัญหาโดยทั่ว ๆ ไป และถูกจัดให้เป็นวิธีที่นิยมที่สุดในการประยุกต์ใช้กับปัญหาต่าง ๆ ในปัจจุบัน

4. นำสมการของแต่ละอิลิเมนท์ที่ได้มาประกอบกัน (Assembly) เป็นสมการรวมของระบบจากขั้นตอนที่ 1 หากแบ่งลักษณะรูปร่างของปัญหาออกเป็นอิลิเมนท์อยู่ซึ่งประกอบด้วย  $n$  โหนด จะก่อให้เกิดระบบสมการรวมซึ่งประกอบด้วยสมการย่อยจำนวนทั้งสิ้น  $n$  สมการ โดยแสดงได้ดังนี้

$$\begin{bmatrix} K_{11} & K_{12} & K_{13} & \dots & K_{1n} \\ K_{21} & K_{22} & K_{23} & \dots & K_{2n} \\ K_{31} & K_{32} & K_{33} & \dots & K_{3n} \\ \vdots & \vdots & \vdots & \ddots & \vdots \\ K_{n1} & K_{n2} & K_{n3} & \dots & K_{nn} \end{bmatrix}_{sys(n \times n)} \begin{bmatrix} u_1 \\ u_2 \\ u_3 \\ \vdots \\ u_n \end{bmatrix}_{sys(n \times 1)} = \begin{bmatrix} f_1 \\ f_2 \\ f_3 \\ \vdots \\ f_n \end{bmatrix}_{sys(n \times 1)} \quad (32)$$

หรือเขียนโดยย่อได้ดังนี้  $[K]_{sys} [u]_{sys} = [f]_{sys}$  จากสมการที่ (32) เมทริกซ์  $[K]_{sys}$  จะมีคุณสมบัติของความเป็นเมทริกซ์สมมาตร กล่าวคือ  $[K]_{sys} = [K]_{sys}^T$  และมีคุณสมบัติของการจับกลุ่มกันของค่าที่ไม่เท่ากับศูนย์บริเวณแนว диагนูมของเมทริกซ์ ซึ่งจะมีลักษณะอยู่ร่วมกันเป็นแถบ (Banded matrix) จากคุณสมบัติตั้งกล่าวนี้ จะก่อให้เกิดประโยชน์อย่างมากในการพัฒนาโปรแกรมคอมพิวเตอร์ โดยเฉพาะอย่างยิ่งในทางปฏิบัติที่จำเป็นต้องใช้จำนวนโหนดเป็นจำนวนมากเพื่อที่จะก่อให้เกิดผลเฉลยที่เที่ยงตรง โดยสามารถพัฒนาให้เก็บเฉพาะค่าที่ไม่เท่ากับศูนย์ไว้ในหน่วยความจำเพื่อใช้ในการคำนวณเท่านั้น

การนำสมการย่อยของแต่ละอิลิเมนท์มาประกอบกันเข้าเป็นสมการรวมของระบบ จำเป็นต้องมีหลักการ ซึ่งหลักการที่จะกล่าวนี้ เป็นหลักการที่ง่าย สามารถทำได้โดยสะดวก เหมาะกับรูปร่างของปัญหาที่มีอิลิเมนท์อยู่จำนวนมาก ๆ และหลักการนี้จะถูกนำมาใช้ในการพัฒนาคอมพิวเตอร์ โปรแกรมด้วย โดยสามารถทำความเข้าใจได้จากตัวอย่างรูปร่างของปัญหาดังรูปที่ 5 กล่าวคือจะทำการสร้างสมการรวมของระบบซึ่งประกอบด้วย 3 อิลิเมนท์ 4 โหนด โดยจะแสดงการรวมของเมทริกซ์  $[K]_{sys}$  เพื่อเป็นตัวอย่าง

วิธีการนี้ทำได้โดยเขียนสมการของอิลิเมนท์ต่าง ๆ พร้อมทั้งกำกับหมายเลขของโหนดทางแฉวนอนและแฉวตั้งของแต่ละอิลิเมนท์ให้ถูกต้อง โดยจากรูปที่ 7  $[K]_e$  ของอิลิเมนท์ที่ 1 ประกอบด้วยโหนดหมายเลข 1 2 และ 4 ส่วน  $[K]_e$  ของอิลิเมนท์ที่ 2 ประกอบด้วยโหนด

หมายเลขอ 3 และ 4 และ  $[K]_e$  ของอลิเมนท์ที่ 3 ซึ่งเป็นอลิเมนท์สุดท้ายประกอบด้วยโหนดหมายเลข 1 3 และ 4 โดยสามารถเขียนแสดงให้เห็นได้ดังนี้

$$[K]_{e1} = \begin{pmatrix} (1) & (2) & (4) \\ (1) & a_1 & b_1 & c_1 \\ (2) & a_2 & b_2 & c_2 \\ (4) & a_3 & b_3 & c_3 \end{pmatrix} \quad (33)$$

$$[K]_{e2} = \begin{pmatrix} (2) & (3) & (4) \\ (2) & d_1 & e_1 & f_1 \\ (3) & d_2 & e_2 & f_2 \\ (4) & d_3 & e_3 & f_3 \end{pmatrix} \quad (34)$$

$$[K]_{e3} = \begin{pmatrix} (1) & (3) & (4) \\ (1) & g_1 & h_1 & i_1 \\ (3) & g_2 & h_2 & i_2 \\ (4) & g_3 & h_3 & i_3 \end{pmatrix} \quad (35)$$

เมื่อมีหมายเลขกำกับทั้งทางแ眷อนและแ眷ตั้งกำกับสมประสิทธิ์ทุกตัวของ เมทริกซ์ของทุกอลิเมนท์แล้ว จะนั่นนำสัมประสิทธิ์ต่าง ๆ เหล่านี้มาใส่ลงในเมทริกซ์ระบบรวม  $[K]_{sys}$  เช่น ค่าสัมประสิทธิ์  $b_3$  ซึ่งอยู่ในแ眷อนที่ 4 แ眷ตั้งที่ 2 ของอลิเมนท์ย่อยที่ 1 จะไปปรากฏอยู่ในแ眷อนที่ 4 แ眷ตั้งที่ 2 ของเมทริกซ์ระบบรวมดังแสดงในสมการ เป็นต้น

$$[K]_{sys} = \begin{pmatrix} (1) & (2) & (3) & (4) \\ (1) & a_1 + g_1 & b_1 & h_1 & c_1 + i_1 \\ (2) & a_2 & b_2 + d_1 & e_1 & c_2 + f_1 \\ (3) & g_2 & d_2 & e_2 + h_2 & f_2 + i_2 \\ (4) & a_3 + g_3 & b_3 + d_3 & e_3 + h_3 & c_3 + f_3 + i_3 \end{pmatrix} \quad (36)$$

5. ประยุกต์เงื่อนไขขอบเขต (Boundary conditions) ที่สอดคล้องกับปัญหาลงในสมการรวมของระบบเพื่อหาค่าผลเฉลย โดยการแก้สมการรวมของระบบเพื่อหาตัวไม่ทราบค่าที่ไหนด

6. คำนวณหาค่าตัวแปรต่าง ๆ ที่ต้องการต่อไป เมื่อทราบค่าผลลัพธ์ที่ไหนดีต่าง ๆ แล้ว สามารถคำนวณหาค่าตัวแปรต่าง ๆ ที่สัมพันธ์กับผลลัพธ์นี้ต่อไปได้

จากขั้นตอนทั้ง 6 ขั้นตอน จะเห็นได้ว่าจะเบี่ยบวิธีไฟในท่ออิเลิเมนท์เป็นวิธีที่มีแบบแผนเป็นขั้นเป็นตอน โดยมีส่วนที่สำคัญที่สุดคือการสร้างสมการของอิเลิเมนท์ในขั้นตอนที่ 3 ให้สอดคล้องกับสมการเชิงอนุพันธ์ของปัญหาที่กำหนด และในขั้นตอนทั้ง 6 ขั้นตอนนี้จะนำไปพัฒนาขึ้นเป็นโปรแกรมคอมพิวเตอร์เพื่อช่วยในการคำนวณต่อไป

## 2. งานวิจัยที่เกี่ยวข้อง

Driesen, Deliege, Belmans, and Hameyer (2000) ได้ดำเนินการศึกษาและจำลองผลของสนามแม่เหล็กและความร้อนของหม้อแปลงในสภาพว่าง่ายโหลดไม่เป็นเชิงเส้นด้วยวิธีไฟในท่ออิเลิเมนท์แบบ 2 มิติและ 3 มิติ ในการคำนวณสนามแม่เหล็กจะคำนวณเป็นแบบความถี่เดียว (time harmonic) โดยคำนวณทั้งสถานะคงตัวและสถานะชั่วครู่ [1]

Preis, Biro, Buchgraber, and Ticar (2006) ได้ใช้วิธีไฟในท่ออิเลิเมนท์จำลองผลและศึกษาสนามแม่เหล็กไฟฟ้าในหม้อแปลงไฟฟ้า ซึ่งวิธีนี้ผู้วิจัยยังได้กล่าวถึง ปัจจัยที่มีผลต่อสนามแม่เหล็กไฟฟ้าและความร้อนในหม้อแปลงไฟฟ้าอันได้แก่ ความชาบชีมแม่เหล็กและค่าความนำไฟฟ้า [2]

Elmoudi , Lehtonen ,and Nordman ได้ศึกษาและพัฒนาโปรแกรมไฟในท่ออิเลิเมนท์แบบ 3 มิติ เพื่อคำนวณหาสนามแม่เหล็กและเส้นแรงแม่เหล็กบริเวณชิดลวดของหม้อแปลง เมื่อเกิดการลัดวงจร และนำไปใช้ประโยชน์ในด้านอุตสาหกรรม[3]

Tsili, Amoiralis, Kladas, and Souflaris ได้ดำเนินการศึกษาความสัมพันธ์ของกระแสที่มีผลต่อสนามแม่เหล็กที่ทำให้เกิดความร้อนและกำลังงานสูญเสียในบริเวณแกนเหล็ก ด้วยโปรแกรมสำเร็จรูปที่ใช้วิธีไฟในท่ออิเลิเมนท์แบบ 3 มิติในการแก้ปัญหา

งานวิจัยของ Azevedo, Rezende, Delaiba, Oliveira, Carvalho and Bronzeado (2006) ได้ศึกษาการเกิดความผิดพร่องภายในหม้อแปลงโดยใช้วิธีไฟในท่ออิเลิเมนท์[5] ในการศึกษาและวิเคราะห์ในงานวิจัยนี้จะจำลองผลสนามแม่เหล็กของหม้อแปลงจำหน่ายในสภาพที่สภาวะปกติและสภาวะที่เกิดความผิดพร่อง